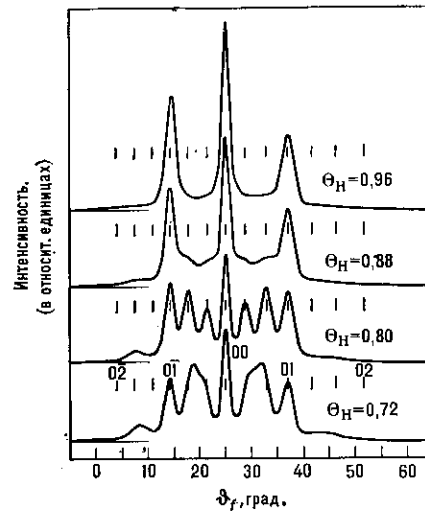


Д. а. и м. на металлах используют ступенчатые вицинальные грани с большими индексами [Cu (117), Pt (997)].

Методами Д. а. и м. изучены поверхностные структуры щёлочно-галоидных и др. ионных кристаллов (NiO , MgO), полупроводников (Si , CaAs), графита, TaS_2 , кремниевых и углеродных покрытий платины, карбайда вольфрама, металлических монокристаллов (Au , Cu , Ag) и разл. адсорбц. слоёв на них. На рис. 2 приведена картина, полученная при дифракции атомов Не на адсорбц. слоях водорода на поверхности Ni (100). На основе приведённых картин Д. а. и м., относящихся к разл. степеням θ_H адсорбц. покрытия поверхности, фиксируются концентрационные фазовые переходы в решётке адсорбированных водорода и, в частности, появле-

Рис. 2. Картинны дифракции пучка гелия на адсорбционных структурах водорода на поверхности Ni (100); $\lambda = 0,63 \text{ \AA}$, температура поверхности 100 К, угол падения 25°, рассеяние в плоскости падения. По нижней оси абсцисс отложен угол рассеяния, штрихи относятся к индексам обратной решётки в соответствии с приведёнными обозначениями. θ_H — степень заполнения поверхности адсорбированным водородом.



ние при $\theta_H \approx 0.8$ сверхрешётки со структурой (2×6) . Исследования картин дифракции на чистой поверхности Ni (110) и той же поверхности, покрытой адсорбированным водородом, позволили установить, что амплитуда дифракции A изменяется от 0,05 до 0,25 Å.

При первых исследованиях Д. а. и м. на поверхностях кристаллов Штерном, Эстерманом, Р. Фришем (Frisch), Ф. Кнауэром (F. Knaus) был обнаружен ещё один квантовый эффект — селективная адсорбция (CA), состоящая в том, что на дифракт. картинах возникают дополнит. максимумы и минимумы. Согласно Дж. Леннарду-Джонсу (J. Lennard-Jones) и Э. Девонширу (E. Devonshire) (1936), CA объясняется захватом в слабо связанные поверхностные состояния части дифрагирующих частиц, к-рые удовлетворяют определ. условиям резонанса. В этом состоянии частицы теряют поступат. степень свободы по нормали к поверхности и продолжают двигаться параллельно поверхности с энергией

$$\mathcal{E}_{\parallel} = \mathcal{E}_j + |\mathcal{E}_f|,$$

где \mathcal{E}_j — энергия связанныго состояния (неск. мэВ). Условием для CA является выполнение соотношения

$$k_{Gz}^2 = (2m/\hbar^2) \mathcal{E}_j < 0,$$

где k_{Gz} — z-проекция волнового вектора дифрагированной частицы. Т. к. вектор обратной решётки $G = G(m, n)$, где m, n — порядок дифракц. рефлексов, дифракц. картина при CA содержит дополнит. экстремумы порядка m, n (на это указывает индекс G у вектора k). Т. о., угл. локализация особенностей CA на дифракц. картинах при учёте всех остальных геом. параметров эксперимента позволяет вычислить энергетич. уровни \mathcal{E}_j , а также нек-рые из параметров потенциала взаимодействия $U(z)$ дифрагирующих частиц

и поверхности кристалла. Если представить $U(z)$ в виде потенциала Морзе:

$$U(z) = D \{ \exp[-2\bar{k}(z - z_e)] - 2 \exp[-\bar{k}(z - z_e)] \}$$

\bar{k} — масштабный множитель обратной решётки, z_e — положение дна потенц. ямы (не связанное с \mathcal{E}_j), D — глубина ямы, то для \mathcal{E}_j получим соотношение

$$\mathcal{E}_j = \left[-D^{1/2} - \frac{\hbar \bar{k}}{\sqrt{2m}} \left(j + \frac{1}{2} \right) \right]^2,$$

$$j = 0, 1, 2, \dots \leq \frac{\sqrt{2mD}}{\hbar \bar{k}} - \frac{1}{2}.$$

Ниже приведены энергетич. параметры (\mathcal{E}_j и D в мэВ) поверхностей LiF и графита:

	D	\mathcal{E}_0	\mathcal{E}_1	\mathcal{E}_2
LiF (100) . .	-8,10	$-5,59 \pm 0,1$	$-2,00 \pm 0,1$	
Графит (001)	-15,55	$-11,62 \pm 0,12$	$-5,38 \pm 0,12$	$-1,78 \pm 0,12$

Погрешности значений \mathcal{E}_j являются следствием в осн. разброса частич. по скоростям, конечно, апертур источником молекул и детектора, а также ширины уровня \mathcal{E}_j : $\Gamma \sim \hbar/\tau$, где τ — время жизни частицы в адсорбированных состояниях. Для определения Γ или τ с помощью СА требуется точность измерений, на порядок превышающая существующую.

Интерференционно-дифракц. явления наблюдаются также при рассеянии молекулярных пучков на газовых мишенях. На основе изучения взаимодействия пересекающихся молекулярных пучков возникла новая область исследований — столкновительная спектроскопия. При измерении пространственной и энергетич. зависимостей сечений столкновений установлены особенности потенциала взаимодействия: во мн. случаях он оказывается многопараметрическим, как правило, неизотропен, немонотонен, часто со мн. экстремумами (см. также *Молекулярные и атомные пучки*).

Изучение поверхностных структур и динамики решёток с помощью Д. а. и м., а также столкновит. спектроскопия дают уникальную информацию, недоступную др. методам.

Лит.: Флерова М. Н., Дифракция молекулярных лучей от кристаллов, «УФН», 1935, т. 15, с. 614; Эстерман И., Техника молекулярных пучков, там же, 1947, т. 32, с. 89; Никитин Е. Е., Овчинников М. Я., Интерференционные явления в атомном рассеянии, там же, 1971, т. 104, с. 379; Лифшиц Е. М., Питаевский Л. П., Статистическая физика, ч. 2, М., 1978; Гудман Ф., Вахман Г., Динамика рассеяния газа поверхностью, пер. с англ., М., 1980; Леонас В. Б., Межмолекулярные взаимодействия и столкновения атомов и молекул, М., 1980; Engel T., Riedel K.-H., Structural studies of surfaces with atomic and molecular beam diffraction, в кн.: Structural studies of surfaces, B., Heidelberg — Н. Й., 1982.

ДИФРАКЦИЯ ВОЛН — в первоначальном узком смысле — огибание волнами препятствий, в современном, более широком — любые отклонения при распространении волн от законов геометрической оптики. К Д. в. фактически относят все эффекты, возникающие при взаимодействии волн с объектом любых размеров, даже малых *по сравнению с длиной падающей волны λ , когда сопоставление с лучевым приближением совершено не показательно. При таком общем толковании Д. в. тесно переплетается с явлениями распространения и рассеяния волн в неоднородных средах.

Первая волновая трактовка Д. в. дана Т. Юнгом (Th. Young, 1800), вторая — О. Френелем (A. Fresnel, 1815). В картине волнового поля, возникающей за препятствием, Юнг усматривал сочетание собственно Д. в. и интерференции. Для объяснения Д. в., помимо обычных законов распространения волн в направлении лучей, он ввёл принцип поперечной передачи амплитуды колебаний непосредственно вдоль волновых фронтов, указав, что скорость этой передачи пропорциональна